



شناسایی مولکولی و تعیین خصوصیات محرك رشدی سویه‌های باکتری جدا شده از ریزوسفر گندم

ویدا همتی^۱- هادی اسدی رحمانی^{۲*}- شکوفه رضابی^۳

تاریخ دریافت: ۱۳۹۶/۰۵/۰۸

تاریخ پذیرش: ۱۳۹۶/۰۹/۲۷

چکیده

باکتری‌های محرك رشد گیاه از طریق مکانیسم‌های مختلف حل کنندگی فسفات، تولید اکسین و سیدروفور باعث افزایش عملکرد گیاهان زراعی می‌شوند. در این تحقیق جداسازی و شناسایی باکتری‌های ریزوسفر گندم انجام شد و برخی از خصوصیات محرك رشدی از قبیل تولید اکسین، سیدروفور و حل کنندگی فسفات معدنی مورد اندازه گیری قرار گرفت. برای غربالگری ژنتیکی ۲۰ جدایه مورد بررسی از روش آنالیز محدودگر دی‌ان‌ای ARDRA تکثیری یا آنزیم‌های برشی HpaII و RsaI برای هضم ناحیه ژنی 16S rDNA با استفاده از آغازگرهای عمومی 27F و 1492R برای تکثیر ناحیه ژنی 16S rDNA، از آنزیم‌های برشی HpaII و RsaI برای هضم ناحیه ژنی 16S rDNA استفاده شد. نتایج غربالگری ژنتیکی نشان داد پس از هضم ناحیه Chryseobacterium گونه‌های تکثیر شده با آنزیم‌های برشی تنوع قابل ملاحظه ای مشتمل بر هفت الگوی برشی قابل مشاهده است. گونه‌های Pedobacter duraquae Novosphingobium aromaticivorans, C. taiwanense C. piperi, C. lathyri, ginsenosidimutans Sphingomonas koreensis شناسایی شدند. نتایج نشان داد که تمامی جدایه‌ها قادر به تولید اکسین بودند که بیشترین اکسین تولید شده ۲۵/۹۳ میلی گرم در لیتر) مربوط به جدایه F1 بود. همچنین تنها سه جدایه F45 و F46 توانایی تولید سیدروفور در محیط CAS آگار را دارا بودند. در مورد توان حل کنندگی فسفات معدنی، نتایج نشان داد که تنها دو جدایه توانایی حل کنندگی فسفات را داشتند که در این میان جدایه F6 (۴/۱۶ قطر هاله به کلی) بیشترین توان حل کنندگی را داشت.

واژه‌های کلیدی: اکسین، باکتری‌های محرك رشد گیاه، سیدروفور

مقدمه^۱

تأثیرات مثبتی بر رشد و عملکرد گیاهان می‌باشند در بیشتر گزارشات مورد اشاره قرار گرفته است. این باکتری‌ها که با عنوان محرك رشد گیاه (PGPR) نامیده می‌شوند شامل گونه‌های متعددی از باکتری‌های Azospirillum Azotobacter و Pseudomonas Herbaspirillum Bacillus مطالعات نشان داده است که باکتری‌های ریزوسفری تنوع زیادی داشته و هر روزه جنس‌های جدیدی به این گروه اضافه می‌گردد (۲۳). این باکتری‌ها دارای جمعیت بیشتری در ناحیه ریزوسفری می‌باشند که به‌واسطه تجمع انواع ترکیبات آلی آزاد شده از ریشه‌ها است که غنی از عناصر و مواد غذایی مورد نیاز باکتری‌هاست (۳۴).

باکتری‌های ریزوسفری محرك رشد از طریق مکانیسم‌های مستقیم و غیرمستقیم اثرات مفیدی را بر روی گیاه اعمال می‌کنند (۲۵). در روش مستقیم، باکتری‌های محرك رشد به طور مستقیم و با استفاده از روش‌های مختلف باعث بهبود و افزایش رشد گیاه می‌شوند. تولید و ترشح تنظیم کننده‌های رشد مثل اکسین، سیتوکنین و جیبرلین، انحلال فسفات‌های معدنی و یا آلی نامحلول، تثبیت نیتروژن

گندم یکی از مهم‌ترین گیاهان زراعی در تولید فراورده‌های غذایی محسوب می‌شود. کشت گندم بدلیل افزایش روز افزون جمعیت و مصرف سرانه بالای نان محور اصلی سیستم‌های زراعی در دنیا ارزیابی گردیده است. در کشاورزی نوین با توجه به افزایش جمعیت انسانی و در بی بحران‌های آلودگی محیط زیستی بدلیل استفاده از سموم و کودهای شیمیایی، اتخاذ راهکارهای مناسب که چنین خطراتی را نداشته باشند، ضروری است که یکی از این راهکارها مصرف کودهای زیستی در سیستم‌های زراعی است (۳۳). کاربرد باکتری‌هایی که در ریزوسفر گیاهان زراعی ساکن بوده و دارای

۱- دانشجوی کارشناسی ارشد و استادیار، دانشگاه آزاد اسلامی واحد کرج
۲- دانشیار مؤسسه تحقیقات خاک و آب، سازمان تحقیقات، آموزش و ترویج کشاورزی

۳- نویسنده مسئول: (Email: asadi_1999@yahoo.com)
DOI: 10.22067/jsw.v31i6.65753

شناسایی مولکولی جدایه‌های باکتریایی

جهت استخراج DNA ژنومی از جدایه‌های مورد بررسی از روش مبتنی بر CTAB استفاده شد (۱۴). برای تکثیر ناحیه 16S rDNA از ترکیب آغازگرهای ۵'-۲۷F و ۳'-۱۴۹۲R و AGAGTTGATCCTGGCTCAG به ترتیب به عنوان آغازگرهای مستقیم و معکوس استفاده شد (۲۱). فرآیند تکثیر PCR با استفاده از یک دستگاه ترموماسایکر (Techne, Genius) صورت گرفت. در این واکنش از پنج میکرولیتر بافر تکثیر PCR، سه میکرولیتر نمونه حاوی ۱/۵ DNA واحد Taq polymerase، ۰.۰۰۰ میلی‌مولار dNTP، دو میلی‌مولار MgCl₂ و ۰.۰۰۰ میکرومولار آغازگرهای آب دیونیزه سترون تا حجم ۵۰ میکرولیتر استفاده گردید. در این واکنش واسرسته‌سازی اولیه در دمای ۹۴ درجه سلسیوس به مدت ۴ دقیقه و برنامه حرارتی شامل ۳۰ چرخه واسرسته‌سازی DNA در دمای ۹۴ درجه سلسیوس به مدت ۴۵ ثانیه، اتصال آغازگرهای در دمای ۵۲ درجه سلسیوس به مدت ۴۵ ثانیه، توسعه DNA در دمای ۷۲ درجه سلسیوس به مدت ۷۲ ثانیه و توسعه نهایی در دمای ۷۲ درجه سلسیوس به مدت ۷ دقیقه استفاده گردید.

آنالیز محدودگر DNA ریبوزمی تکثیری

برای غربالگری ژنتیکی جدایه‌های مورد بررسی از روش آنالیز محدودگر DNA ریبوزمی تکثیری^۱ یا ARDRA استفاده شد. بدین منظور پس از PCR با استفاده از آغازگرهای عمومی ۲۷F و ۱۴۹۲R برای تکثیر ناحیه ۱۶S rDNA، از آنزیم‌های برشی HpaII و RsaI برای هضم ناحیه ۱۶S rDNA استفاده شد. در این واکنش از ۵ میکرولیتر بافر، ۰.۰۰۰ میکرولیتر محصول PCR، ۱/۵ واحد آنزیم برشی و آب دیونیزه سترون تا حجم ۵۰ میکرولیتر استفاده گردید و سپس دو ساعت در ۳۷ درجه سانتی‌گراد قرار داده شد تا عمل برش ناحیه ۱۶S rDNA انجام شود. سپس به مدت ۲۰ دقیقه در ۶۵ درجه سانتی‌گراد برای غیرفعال کردن آنزیم قرار داده شد و در نهایت چندشکلی ایجاد شده ناشی از برش با آنزیم‌های محدودگر و طول قطعات برش خورده بر روی ژل الکتروفوروز دو درصد مورد ارزیابی قرار گرفت.

از بین جدایه‌هایی که الگوی برشی مشابهی توسط آنزیم‌های برشی داشتند، یکی انتخاب گردید و محصول تکثیر شده مربوط به ناحیه 16S rDNA ۱۶S جهت خالص‌سازی و تعیین توالی نوکلئوتیدی از طریق شرکت تکاپوزیست تهران به شرکت Pioneer کره جنوبی ارسال شد. پس از دریافت توالی‌های نوکلئوتیدی، جهت روئیت آن‌ها و

تمسخری و تولید آنزیم‌های مثل آنزیم (ACC) – دی‌آمیناز از جمله مکانیسم‌های مستقیم می‌باشد (۱۸ و ۲۴). توانایی تولید اکسین در *Bacillus* *Alcaligenes* *Flavobacterium* *Entrobacter* *Azospirillum* *Xanthomonas* و *Rhizobium* *Pseudomonas* به ابات رسیده است (۵ و ۲۸). در روش غیرمستقیم، این باکتری‌ها با استفاده از مواد بازدارنده از قبیل آنزیم‌ها و یا ترکیباتی مانند سیانید هیدروژن و یا از طریق افزایش مقاومت طبیعی گیاه میزان موجب کاهش و یا توقف کامل بیمارگرهای گیاه میزان می‌شوند. گزارش شده است که باکتری *Pseudomonas stutzeri* با تولید آنزیم کیتیناز سبب لیز شدن هیف‌های قارچ *Fusarium solani* گردیده است (۷ و ۱۰).

باکتری‌های افزاینده رشد با کمک به جذب آب و عناصر غذایی توسط گیاه، باعث بهبود جوانه‌زنی و کمک به گیاه برای رشد در شرایط تنش‌های محیطی می‌شوند (۳۵). شاؤکات و همکاران (۳۱) گزارش کردند که جدایه‌های *Azospirillum* *Pseudomonas* تأثیر مثبت و معنی‌داری بر روی جوانه‌زنی و رشد گیاه‌چه ذرت نشان دادند. همچنین سید Shirifی و خوازی (۳۰) گزارش کردند که تلقیح بذر ذرت هیبرید SC-434 با باکتری *Azospirillum* باعث تسريع در رشد گیاه‌چه و مؤلفه‌های جوانه‌زنی بذر ذرت می‌شود. هدف از این مطالعه شناسایی جدایه‌های باکتریایی و غربالگری مولکولی آنها با استفاده از روش آنالیز محدودگر دی‌ان‌ای ریبوزمی تکثیری یا ARDRA، بررسی صفات محرك رشد یعنی قابلیت تولید اکسین، سیدروفور و حل کنندگی فسفات این جدایه‌ها، و در نهایت بررسی تأثیر آنها بر صفات مربوط به جوانه‌زنی بذر گندم بود.

مواد و روش‌ها

باکتری‌های مورد استفاده

در این تحقیق ۲۰ جدایه باکتری که طی مطالعات گذشته از خاک‌های ریزوسفر گندم از استان‌های تهران، قزوین، زنجان، آذربایجان شرقی و غربی، کردستان و همدان جاذسازی شده بودند مورد استفاده قرار گرفتند (۴). برای خالص‌سازی و نگهداری، یک کلنجی از هر جدایه در محیط نوترینت آگار (NA) Nutrient Agar در دمای ۲۸ درجه سانتی‌گراد به مدت دو کشت داده و گرم‌گذاری در دمای ۳۷ درجه سانتی‌گراد به مدت دو الی چهار روز انجام گرفت تا باکتری‌ها به میزان کافی رشد کنند، بعد از آن در دمای چهار درجه سانتی‌گراد نگهداری شدند. باکتری‌ها مورد رنگ‌آمیزی گرم قرار گرفته و از نظر شکل ظاهری مورد مطالعه قرار گرفتند. در این تحقیق از دو باکتری شناسایی شده موجود در کلکسیون میکروبی موسسه تحقیقات خاک و آب شامل *Azospirillum* و *Pseudomonas fluorescens* strain R169 به عنوان شاهد استفاده گردید.

1- Amplified Ribosomal DNA Restriction Analysis

محاسبه گردید (۲۹). محیط کشت اسپریبر شامل ۱۰ گرم در لیتر گلوكز، ۰/۵ گرم در لیتر عصاره مخمر، ۱/۰ گرم در لیتر CaCl_2 ، ۰/۲۵ گرم در لیتر $\text{MgSO}_4 \cdot 7\text{H}_2\text{O}$ ، ۰/۵ گرم در لیتر $\text{Ca}_3(\text{PO}_4)_2$ و ۱۰ گرم در لیتر آکار می‌باشد که با pH حدود ۷/۲ تنظیم می‌شود.

تأثیر جایه‌های باکتریایی بر صفات مربوط به جوانه‌زنی
برای بررسی تأثیر جایه‌هایی باکتریایی، صفات مربوط به جوانه‌زنی شامل وزن تر و خشک ریشه و گیاهچه، طول ریشه‌چه و ساقه-چه، درصد، سرعت و متوسط سرعت جوانه‌زنی مورد اندازه‌گیری قرار گرفت.

بذر گندم رقم چمران از بانک ژن مؤسسه تحقیقات اصلاح و تهییه نهال و بذر تهییه گردید. به منظور ضدعفونی، بذرها بمدت ۴۵ ثانیه در محلول هیپوکلریت سدیم یک درصد قرار گرفتند و بلا فاصله چندین بار با آب مقطر سترون شسته شدند. به منظور اجرای تیمار تلقیح باکتریایی، باکتری‌ها تا فاز لگاریتمی تکثیر گردیدند و جمعیت باکتری‌ها در حدود $9 \times 10^7 \text{ CFU/ml}$ تنظیم شد. بذرها استریل به فلاسک‌های حاوی مایه تلقیح باکتری‌ها منتقل شده و بمدت ۳۰ دقیقه بروی شیکر دورانی قرار گرفتند. در مرحله بعد تعداد ۱۰۰ عدد بذر در داخل پتربی دیش‌های استریل حاوی کاغذ صافی در سه تکرار قرار داده شد. سپس درب پتربی دیش‌ها با پارافیلم بسته شده و درون انکوباتور با درجه حرارت ۲۵ درجه سانتی‌گراد قرار داده شدند. هر روز بذرها از نظر جوانه‌زنی مورد بررسی قرار گرفتند. تا پایان روز هفتم تعداد ۱۰ بذر از تکرارها برداشت شد و صفات مربوط به جوانه‌زنی شامل وزن تر و خشک ریشه، وزن تر و خشک گیاهچه، طول ریشه‌چه و ساقه‌چه، درصد، سرعت و متوسط سرعت جوانه‌زنی مورد اندازه‌گیری قرار گرفت (۱۶ و ۱۹).

تجزیه و تحلیل داده‌ها

آزمایش به صورت طرح کاملاً تصادفی انجام گردید. برای تجزیه و تحلیل داده‌ها از نرم‌افزار آماری SAS 9.1 و برای انجام مقایسه میانگین داده‌ها از روش آزمون حداقل اختلاف معنی‌دار (LSD) در سطح احتمال پنج درصد استفاده گردید.

نتایج و بحث

استخراج DNA به روش CTAB به عنوان روش مطلوب و مناسب جهت استخراج DNA ۲۰ rDNA جایه بدست آمده ارزیابی شد. تکثیر ناحیه ۱۶S rDNA در واکشن زنجیره‌ای پلیمراز، تکثیر بخشی از ژنوم به طول تقریبی ۱۵۰۰ جفت باز را در کلیه جایه‌های مورد بررسی نشان داد. پس از هضم ناحیه تکثیر شده ۱۶S rDNA با آنزیم‌های برشی HpaII (شکل ۱) و RsaI (شکل ۲)، هفت الگوی

ایجاد ناحیه کانتیگ از نرم‌افزار Vector NTI نسخه ۱۰ استفاده شد. توالی‌های اصلاح شده با فرمت FASTA ذخیره شدن و هر یک از توالی‌ها با استفاده از ابزار جستجوی BLAST (۳) با توالی‌های موجود در بانک ژن NCBI و EzTaxon مقایسه شدند.

ارزیابی قابلیت تولید سیدروفور

آزمون تولید سیدروفور با استفاده از محیط CAS Blue Agar انجام شد (۲). برای تهییه این محیط چهار محلول شامل محلول معرف Fe-Cas، محلول بافر PIPES، محلول غذایی و محلول کاز‌آمینواسید به طور مجزا تهییه، سترون و سپس با هم مخلوط شدند. پلیت‌های شامل CAS Agar پس از انجامد با تیغ استریل به چهار قسمت مساوی تقسیم شدند و از سوسپانسیون تازه جایه‌ها با جمعیت $(4 \times 10^8 \text{ CFU/ml})$ به اندازه پنج میکرولیتر در وسط هر قسمت به روش قطره‌گذاری تلقیح شدند. توانایی تولید سیدروفور از روی تغییر رنگ آبی به نارنجی و با اندازه‌گیری هاله نارنجی رنگ تشکیل شده در اطراف کلیه باکتری‌ها ارزیابی گردید. هم چنین قطر کلیه باکتری و نسبت قطر هاله به قطر کلی نیز اندازه‌گیری و محاسبه شد. این آزمایش در سه تکرار انجام شد.

ارزیابی قابلیت تولید اکسین

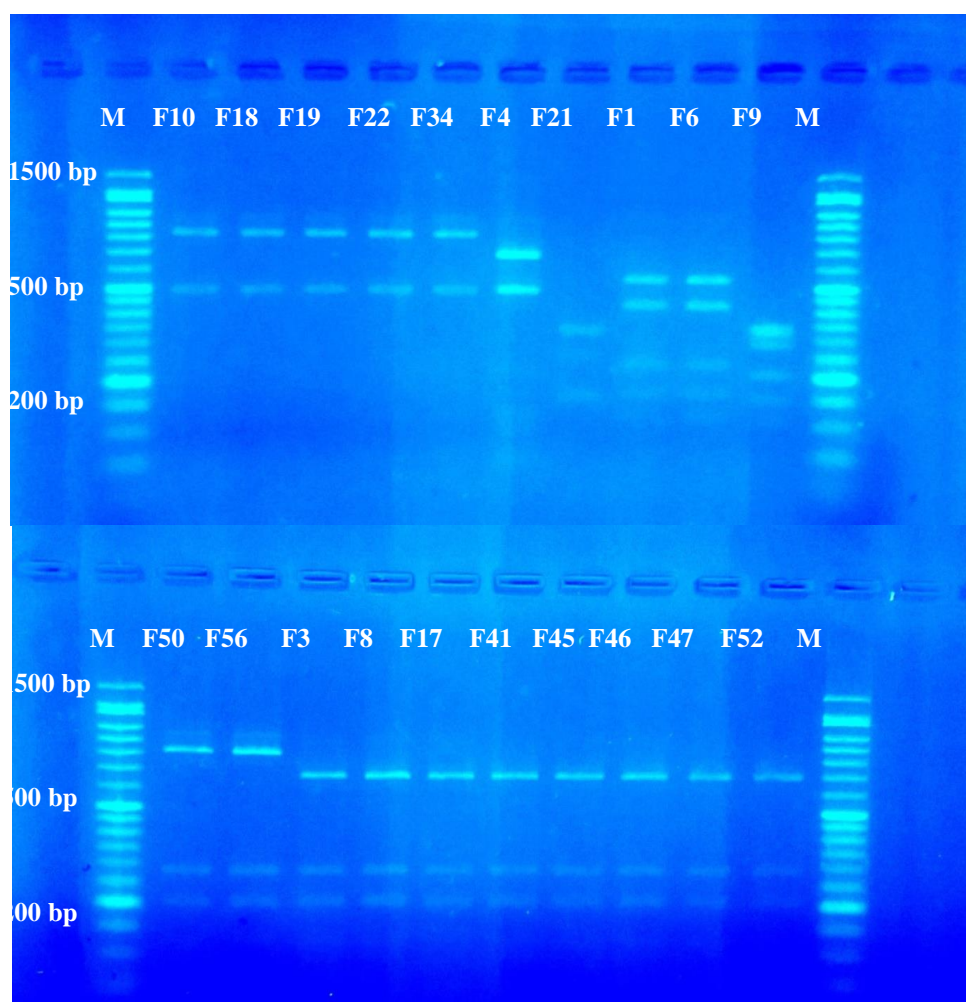
به منظور بررسی توان تولید اکسین جایه‌ها، ابتدا باکتری‌ها به مدت ۴۸ ساعت در محیط کشت Tryptic Soy Broth (TSB) کشت داده شدند. سپس ۵۰ میکرولیتر از سوسپانسیون باکتری به ۲۵ میلی‌لیتر محیط TSB منتقل گردید. بعد از ۴۸ ساعت سوسپانسیون باکتری به مدت ۱۵ دقیقه و با نیروی 10000 g سانتریفیوژ گردید و یک میلی‌لیتر از محلول بالایی با دو میلی‌لیتر معرف سالکوسکی مخلوط گردید. این مخلوط به مدت ۲۵ دقیقه در دمای اتاق نگهداری و سپس با استفاده از اسپکتروفوتومتر میزان جذب نور آن در ۵۳۵ نانومتر قرائت گردید (۸). مقدار تولید اکسین هر جایه با مقایسه مقدار جذب نور آن با منحنی تهییه شده از ایندول استیک اسید محاسبه شد.

ارزیابی توان حل‌کنندگی فسفات معدنی

به منظور بررسی توان حل‌کنندگی فسفات معدنی، ابتدا باکتری‌ها به مدت ۴۸ ساعت در محیط کشت Tryptic Soy Broth (TSB) کشت داده شدند و از سوسپانسیون جایه‌ها به اندازه دو میکرولیتر روى محیط کشت اسپری بر به روش قطره‌گذاری تلقیح شدند. سپس تنشتک پتربی به مدت ۵ روز در انکوباتور با دمای 28 ± 2 درجه سلسیوس قرار گرفت. ظهور هاله شفاف در پیرامون کلیه باکتری به عنوان نشانه حل‌کنندگی فسفات در نظر گرفته شد. برای ارزیابی نسبی انحلال فسفات، نسبت قطر کل (هاله + کلونی) بر قطر کلونی

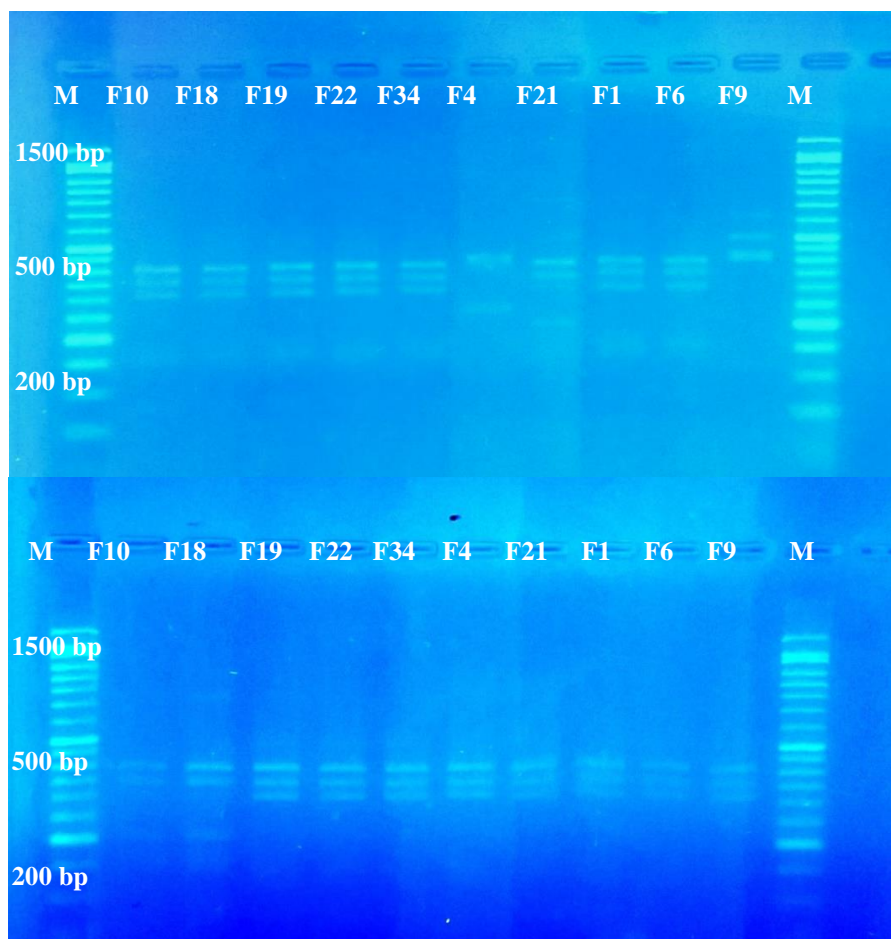
تولید سیدروفور
در این آزمایش، نتایج به دست آمده از اندازه‌گیری توان تولید سیدروفور نشان داد که تنها سه جدایه (F46, F45, F3) توانایی تولید سیدروفور را داشتند که در این میان جدایه F46 (با میانگین ۲/۸۶ قطر هاله به کلی) بیشترین توانایی تولید را دارا بود (شکل ۳). همکاران (۱۲) نشان دادند که سیدروفور تولید شده توسط باکتری *Pseudomonas putida* افزایش داد.

برشی مشاهده گردید که از هر کدام یک نمونه برای توالی‌بایی فرستاده شد. گونه‌های *Chryseobacterium taiwanense*, *C. piperi*, *C. lathyri*, *ginsenosidimutans*, *Pedobacter duraquae*, *Novosphingobium aromaticivorans*, *Sphingomonas koreensis* و *duraquae* شناسایی شدند (جدول ۱).



شکل ۱- 16S rDNA-RFLP. قطعه حاصل از PCR ناحیه 16S rDNA (1500bp) با آنزیم محدودگر Hpa II برش داده شده است. جدایه‌های F10, F18, F19, F22 و F34: *Chryseobacterium ginsenosidimutans*. F4: *Sphingomonas koreensis*. F21: *Chryseobacterium taiwanense*. F1, F6: *Pedobacter duraquae*. F9: *Novosphingobium aromaticivorans*. F50 و F56: *Chryseobacterium piperi*. F3, F8, F9, F17, F41, F45, F46, F47 و F52: *Chryseobacterium lathyri*. M: DNA ladder 100bp سایز مارکر 100bp

Figure 1- 16S rDNA-RFLP. The amplified 16S rDNA PCR fragment (1500bp) was digested by HpaII restriction enzyme. F10, F18, F19, F22 and F34: *Chryseobacterium ginsenosidimutans*. F4: *Sphingomonas koreensis*. F21: *Chryseobacterium taiwanense*. F1, F6: *Pedobacter duraquae*. F9: *Novosphingobium aromaticivorans*. F50 and F56: *Chryseobacterium piperi*. F3, F8, F9, F17, F41, F45, F46, F47 and F52: *Chryseobacterium lathyri*. M: DNA ladder 100bp



شکل ۲- 16S rDNA-RFLP. قطعه حدود 1500bp PCR ناچیه با آنزیم محدودگر RsaI برش داده شده است. جدایه‌های

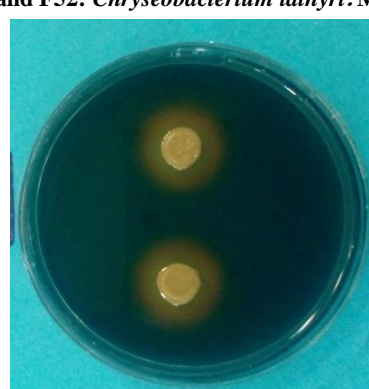
:F21: *Sphingomonas koreensis* :F4: *Chryseobacterium ginsenosidimutans* :F34 و F22 و F19 و F18 و F10

:F1: *Novosphingobium aromaticivorans* :F9: *Pedobacter duraquae* و F1: *Chryseobacterium taiwanense*

:M: *Chryseobacterium lathyri* :F52 و F47 و F46 و F45 و F41 و F17 و F9 و F8 و F3: *Chryseobacterium piperi*:F56 و F50 های

.100bp سایز مارکر

Figure 2- 16S rDNA-RFLP. The amplified 16S rDNA PCR fragment (1500bp) was digested by RsaI restriction enzyme. F10, F18, F19, F22 and F34: *Chryseobacterium ginsenosidimutans*. F4: *Sphingomonas koreensis*. F21: *Chryseobacterium taiwanense*. F1, F6: *Pedobacter duraquae*. F9: *Novosphingobium aromaticivorans*. F50 and F56: *Chryseobacterium piperi*. F3, F8, F9, F17, F41, F45, F46, F47 and F52: *Chryseobacterium lathyri*. M: DNA ladder 100bp



شکل ۳- تولید سیدروفور در جدایه F46
Figure 3- Siderophore productions by F46

جدول ۱- باکتری‌های شناسایی شده ریزوسفر گندم
Table 1- Identification of bacteria from the wheat rhizosphere

جایه باکتری Bacterial isolates	شکل کلونی Whole colony	حاشیه Edge	ارتفاع Elevation	واکنش گرم Gram	رنگ Color	نام باکتری Bacterial name	شماره دخیره GenBank accession No.	مشابهت Similariy
F1	Circular	Entire	Flat	-	Cream-Yellow	<i>Pedobacter duraquae</i>	KU924006	%99
F3	Circular	Entire	Flat	-	Yellow	<i>Chryseobacterium lathyri</i>	KU923998	%99
F4	Circular	Entire	Flat	-	Yellow	<i>Sphingomonas koreensis</i>	KU924008	%99
F6	Circular	Entire	Flat	-	Cream-Yellow	<i>Pedobacter duraquae</i>		
F8	Circular	Entire	Flat	-	Yellow	<i>Chryseobacterium lathyri</i>		
F9	Circular	Entire	Convex	-	Orange-Yellow	<i>Novosphingobium aromaticivorans</i>	KU924009	%99
F10	Circular	Entire	Convex	-	Orange	<i>Chryseobacterium ginsenosidimutans</i>	KU924004	%99
F17	Circular	Entire	Flat	-	Yellow	<i>Chryseobacterium lathyri</i>		
F18	Circular	Entire	Convex	-	Orange	<i>Chryseobacterium ginsenosidimutans</i>		
F19	Circular	Entire	Convex	-	Orange	<i>Chryseobacterium ginsenosidimutans</i>		
F21	Circular	Entire	Convex	-	Orange	<i>Chryseobacterium taiwanense</i>	KU924003	%99
F22	Circular	Entire	Convex	-	Orange	<i>Chryseobacterium ginsenosidimutans</i>		
F34	Circular	Entire	Convex	-	Orange	<i>Chryseobacterium ginsenosidimutans</i>		
F41	Circular	Entire	Flat	-	Yellow	<i>Chryseobacterium lathyri</i>		
F45	Circular	Entire	Flat	-	Yellow	<i>Chryseobacterium lathyri</i>		
F46	Circular	Entire	Flat	-	Yellow	<i>Chryseobacterium lathyri</i>		
F47	Circular	Entire	Flat	-	Yellow	<i>Chryseobacterium lathyri</i>		
F50	Circular	Entire	Flat	-	Orange	<i>Chryseobacterium piperi</i>	KU924005	%99
F52	Circular	Entire	Flat	-	Yellow	<i>Chryseobacterium lathyri</i>		
F56	Circular	Entire	Flat	-	Orange	<i>Chryseobacterium piperi</i>		

جایه F18 به دست آمد (جدول ۲). در بررسی انجام شده توسط بنت و همکاران (۸) مشخص شد که جایه‌های *Pseudomonas fluorescens* توانایی تولید مقادیر اکسین را در حضور غلظت‌های مختلف تریپتوفان و عدم حضور آن داشتند. در پژوهش‌های انجام شده روی ۲۵ جایه *Pseudomonas fluorescens* مشخص گردید که متوسط میزان تولید اکسین ۲/۴۴ میکروگرم بر میلی‌لیتر بود و

توان تولید اکسین نتایج حاصل از تجزیه واریانس داده‌ها نشان داد که اثر جایه‌های مختلف ریزوسفر گندم بر میزان توان تولید اکسین در سطح اختلال یک درصد معنی‌دار بود (داده‌ها نشان داده نشده‌اند). مقایسه میانگین داده‌ها نشان داد که بیشترین میزان توان تولید اکسین با میانگین ۲۵/۹۳ میلی‌گرم در لیتر توسط جایه F1 تولید گردید و کمترین آن از

داده‌ها نشان داد که بیشترین وزن خشک گیاهچه در جدایه F18 (با میانگین 60.33 g) بهدست آمد (جدول ۲). بیشترین وزن تر ریشه در جدایه F18 (60.0 g) و بیشترین وزن خشک ریشه در شاهد مثبت OF (19.4 g) بهدست آمد (جدول ۲).

مقایسه میانگین داده‌ها نشان داد که بیشترین طول ساقه‌چه از جدایه F45 با میانگین 70.4 سانتیمتر بهدست آمد. همچنین کمترین طول ساقه‌چه نیز در تیمار بدون تلقيق با میانگین 35.8 سانتیمتر حاصل شد (جدول ۲). مقایسه میانگین داده‌ها نشان داد که بیشترین طول ریشه‌چه از جدایه شاهد مثبت R169 با میانگین 64.2 سانتیمتر بهدست آمد (جدول ۲). از آنجایی که باکتری‌های محرك رشد سبب افزایش طول و سطح ریشه‌چه می‌شوند، در نتیجه بدليل دسترسی بیشتر به آب و عناصر غذایی، رشد گیاه افزایش می‌یابد (۶). جاراک و همکاران (۲۰) نشان دادند که تلقيق گیاه ذرت با باکتری‌های *Azotobacter* و *Bacillus* sp. Q5a, *Pseudomonas* sp. Q4b باعث افزایش معنی‌دار عملکرد گیاه می‌گردد. بذرهای ذرت تلقيق یافته با باکتری *Azospirillum* از افزایش در طول ریشه‌چه، ساقه‌چه و نسبت ریشه‌چه به ساقه‌چه بیشتری نسبت به عدم تلقيق برخوردار بود (۳۰).

مقایسه میانگین داده‌ها نشان داد که بیشترین درصد جوانه‌زنی در جدایه شاهد مثبت OF با میانگین 33.33% درصد و بعد از آن در جدایه‌های F19 و F41 با میانگین 33% حاصل شد. کمترین درصد جوانه‌زنی نیز در جدایه F3 با میانگین 27.33% درصد مشاهده شد (جدول ۲). غلامی و همکاران (۱۷) نشان دادند تلقيق بذر ذرت با باکتری‌های محرك رشد باعث بهبود درصد جوانه‌زنی و رشد گیاهچه ذرت می‌شود. المیلیجی (۱۵) گزارش کرد پوشش‌دار کردن بذر ذرت با جدایه‌های *Pseudomonas fluorescens* باعث بهبود میزان ظهور و درصد جوانه‌زنی گیاهچه‌ها در مزرعه شد.

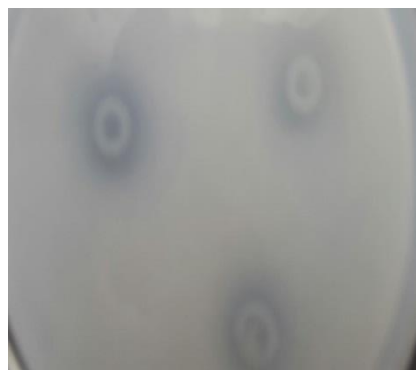
مقایسه میانگین داده‌ها نشان داد که بیشترین سرعت جوانه‌زنی از جدایه F45 (با میانگین $53.99 \text{ روز بر تعداد}$) بهدست آمد. همچنین کمترین سرعت جوانه‌زنی در جدایه F9 با میانگین $32.7 \text{ روز بر تعداد}$ حاصل شد (جدول ۲). مقایسه میانگین داده‌ها نشان داد که بیشترین متوسط سرعت جوانه‌زنی از جدایه شاهد مثبت OF با میانگین $38.85 \text{ روز بر تعداد}$ بهدست آمد. همچنین کمترین این صفت نیز در جدایه F9 با میانگین $27.0 \text{ روز بر تعداد}$ حاصل شد (جدول ۲).

نتایج کامکاسی و همکاران (۱۱) نشان داد که با تلقيق بذرهای جو با باکتری‌های محرك رشد گیاه، افزایش وزن ریشه‌های جو حاصل گردید. در مطالعه‌ای که توسط کروس و همکاران (۱۳) انجام گرفت، بذرهای گندم تلقيق شده با *Azospirillum* هیچ اختلاف معنی‌داری را در درصد جوانه‌زنی در مقایسه با شاهد تلقيق نشده نشان ندادند.

تمامی جدایه‌ها قابلیت تولید اکسین را داشتند و دامنه آن از $1/3$ تا $4/5$ میکروگرم بر میلی لیتر در بین جدایه‌ها متغیر بود (۳۲). *Pseudomonas* و همکاران (۱) نشان دادند که جدایه‌های دارا می‌باشند. نتایج خاکی پور و همکاران (۲۲) نشان داد که مقدار اکسین تولیدی در سویله‌های *Pseudomonas fluorescens* از $0 \text{ تا } 24.08 \text{ میلیگرم در لیتر}$ متغیر بود.

حل کنندگی فسفات معدنی

نتایج بهدست آمده از سنجش توان حل کنندگی فسفات باکتری‌ها نشان داد که تنها دو جدایه F6 (با میانگین $4/16 \text{ قطر هاله به کلنی}$) و F56 (با میانگین $2/5 \text{ قطر هاله به کلنی}$) دارای توانایی حل کنندگی فسفات بوده، اما سایر جدایه‌ها قادر این ویژگی بودند (شکل ۴). نتایج نوری و سعود (۲۷) و مقامی و همکاران (۲۶) نشان داد که تمامی جدایه‌های *Pseudomonas fluorescens* مورد مطالعه قادر به انحلال تری کلسیم فسفات در محیط جامد بودند.



شکل ۴- حل کنندگی فسفات معدنی و ایجاد هاله توسط جدایه F6

Figure 4- Phosphate solubilization and halo zone production by F6

تأثیر جدایه‌های باکتریایی بر صفات مربوط به جوانه‌زنی بررسی نتایج حاصل از تجزیه واریانس داده‌های این تحقیق نشان داد که اثر جدایه‌های بومی ریزوسفر گندم بر صفات جوانه‌زنی گندم نظیر وزن تر و خشک ریشه، وزن تر گیاهچه، طول ریشه‌چه و ساقه-چه، درصد، سرعت و متوسط سرعت جوانه‌زنی در سطح احتمال یک درصد و وزن خشک گیاهچه در سطح احتمال پنج درصد معنی‌دار بود (داده‌ها نشان داده نشده‌اند). مقایسه میانگین داده‌ها نشان داد که بیشترین وزن تر گیاهچه در جدایه F19 (با میانگین 40.0 g) به دست آمد که با جدایه F22 از نظر آماری اختلاف معنی‌داری نداشت. همچنین کمترین وزن تر گیاهچه نیز در جدایه F41 و تیمار بدون تلقيق (با میانگین 10.8 g) مشاهده شد (جدول ۲). مقایسه میانگین

جدول ۲- میزان اسپرم توبیک در جاذبه‌های مختلف باکتری‌های محرک رشد و تأثیر آن جاذبه‌ها بر وزن تر و نشکن گیاهچه و رشد، طول رشه، طول ریشه و ساقه، درصد جوانه‌زی سرعت جوانه‌زنی و متوسط سرعت جوانه‌زنی بذر گندم

Treatment	بیمار	میزان اسپرم توبیک	وزن تر گیاهچه (گرم)	وزن نشکن گیاهچه (گرم)	وزن تر و نشکن گیاهچه (گرم)	درصد رشه (٪)	طول ساقه (سانتی‌متر)	طول ریشه (centimetre)	طول ریشه (centimetre)	جوانه‌زنی (وزن بذر تهداد)	سرعت جوانه‌زنی (وزن بذر تهداد)	متوسط سرعت جوانه‌زنی (وزن بذر تهداد)
F1	25.93a	0.266bcd	0.0286a-g	0.522def	0.163bh	5.26b-d	5.23e-h	32.6abc	49.07abc	3.666a-d	2.756ij	
F3	21.16b	0.209cdef	0.0250i-j	0.618abc	0.167ag	5.89abc	5.72a-g	27.33h	33.23hi	3.436c-g	3.436c-g	
F4	20.26cd	0.187ef	0.0253a-f	0.367f	0.164bh	5.31ai-d	5.50c-g	32.33a-d	43.33defg	3.560b-e	45.41ede	
F6	18.13e	0.2233cdef	0.0283b-g	0.483cdef	0.155ch	5.04cde	5.33d-h	32.66abc	41.15efg	3.266igh	3.266igh	
F8	20.80bc	0.244bcedf	0.0290a-f	0.507edf	0.1471h	3.44g	5.22e-h	30.66c-e	32.70i	2.703ij	3.183gh	
F9	20.00cd	0.253bcede	0.0263d-h	0.571he	0.153ch	3.85fg	5.39d-h	27.66h	31.66a-e	3.443gh	3.443gh	
F10	10.13h	0.270bcd	0.0283b-g	0.579fe	0.149eh	5.77abc	6.02a-f	46.19cde	46.19cde	46.65cd	46.65cd	
F17	15.73f	0.252bcede	0.0260e-h	0.630abc	0.153d-h	4.60def	5.22e-h	6.55abc	33.00b-f	46.05cd	46.05cd	
F18	1.90k	0.296b	0.033ea	0.771a	0.138h	6.27ab	5.17b-e	4.86gh	33.00ab	46.69cd	46.69cd	
F19	0.440a	0.280b-g	0.0280b-g	0.852ab	0.185ab	5.76ab	5.33d-h	29.001gh	32.00ab	3.131efg	3.416cd	
F21	9.8h	0.268bcd	0.0270e-h	0.590bc	0.136h	5.43a-d	5.33d-h	44.45cd	44.45cd	3.570bc	47.75bcd	
F22	3.40j	0.373a	0.0253e-h	0.550cd	0.150eh	5.07de	4.87gh	32.00a-e	31.66a-e	3.803ab	52.32ab	
F34	5.06i	0.241bcdef	0.0236ab	0.514cd	0.169abdef	5.84abdef	5.08igh	33.00ab	32.66abc	53.99a	44.29cd	
F41	18.06e	0.108g	0.0276b-g	0.388ef	0.182abc	4.06efg	4.33ghi	30.33def	30.33def	33.53a	42.49def	
F45	17.83e	0.232bdef	0.0315abed	0.504def	0.180abed	5.59ahbd	7.04a	31.00b-f	31.00b-f	3.810ab	3.373efg	
F46	1.1.70g	0.225bcedf	0.0236g-j	0.567bce	0.156bch	5.47a-d	5.83b-g	32.00ab	32.00ab	3.703abc	46.76cd	
F47	16.06f	0.243bcedf	0.0222bij	0.622abc	0.178abde	5.03cde	4.97gh	30.00efg	31.66a-e	44.39cd	44.39cd	
F50	20.73bc	0.278bc	0.0320abc	0.601bc	0.176abdef	5.81abc	6.50abc	53.03ab	31.66a-e	3.510bc	46.76cd	
F52	4.06j	0.174fg	0.0200ij	0.540cd	0.171abdef	5.10cde	5.54c-g	30.33def	30.33def	33.60efg	33.60efg	
F56	19.76d	0.270bcd	0.0316abc	0.585bc	0.169ag	5.32a-d	6.39a-d	33.53a	53.53a	3.856a	44.48cde	
OF	-	0.202def	0.0293a-f	0.469abef	0.194a	5.97abc	6.30a-e	44.48cde	31.00b-f	3.336efg	39.04fg	
R169	-	0.229bcdef	0.0303abcke	0.480def	0.152d-h	6.42a	6.89ab	3.58i	28.00gh	3.016hi		
Blank	-	0.108g	0.0196j	0.400def	0.140gh	3.41g						

اعداد با مشترک در هر سمعن دارای تابع معنی‌دار (P<0.05) نمایند
Numbers followed by the same letter are not significantly different (P<0.05)

نتیجه‌گیری کلی

باکتری‌های محرک رشد گیاهی با روش‌های متعددی موجب افزایش رشد و نمو گیاهان مختلف می‌شوند. این باکتری‌ها علاوه بر محلول کردن فسفر خاک، تولید سیدروفور و سیانید هیدروژن، با تولید هورمون‌هایی مانند انواع اکسین، جیبرلین و سیتوکینین، رشد و نمو گیاهان زراعی را تحت تأثیر قرار می‌دهند. با توجه به نتایج حاصله، داشتن خصوصیات محرک رشدی مختلف از قبیل تولید سیدروفور، اکسین و انحلال ترکیبات نامحلول فسفر این جدایه‌ها و بهبود صفات جوانه‌زنی گندم، می‌توان از این جدایه‌ها برای تهیه مایه تلقیح مناسب پس از انجام آزمون‌های مزرعه‌ای در راستای افزایش فراهمی عناصر غذایی و بهبود رشد گیاهان مختلف از جمله غلات استفاده کرد.

این مسئله ممکن است به دلیل محدودیت‌های تحمیل شده توسط ممانعت‌های باکتری در زمین مانند بقاء، تحرک، جذب به ذرات خاک و رقابت با میکروگانیسم‌های بومی باشد. از دلایل دیگر عدم جوانه زنی دانه‌های غلات و حبوبات، دورمانسی^۱ می‌باشد. دورمانسی خارجی دانه، زمانی رخ می‌دهد که آب و هوا اجازه ورود به دانه را نداشته و دانه موفق به جذب آب نشده و نهایتاً باعث کاهش جوانه‌زنی دانه می‌شود. از آنجایی که یک دانه دورمانست ممکن است به طور بالقوه به تمام مراحل متابولیکی مورد نیاز جهت تکمیل جوانه‌زنی دست یابد ولی هنوز به دلیل برخی موارد ناشناخته، محور طولی ریشه‌چه برای توسعه و امتداد یافتن با شکست موadge می‌شود^(۹). احتمال بر این است که افزایش درصد و سرعت جوانه‌زنی مشاهده شده در پژوهش حاضر، به دلیل شکسته شدن یا کوتاه شدن دوره دورمانسی تحت تاثیر تیمار با جدایه‌های باکتریایی باشد.

منابع

- 1- Ahmad F., Ahmad L., and Saghir M. 2005. Indole acetic acid production by the indigenous isolates of Azotobacter and fluorescent Pseudomonas in the presence and absence of tryptophan. Turkish Journal of Biology, 29:29-34.
- 2- Alexander D.B., and Zuberer D.A. 1991. Use of chrome azurol S reagents to evaluate siderophore production by rhizosphere bacteria. Biology and Fertility of Soils, 12(1):39-45.
- 3- Altschul S.F., Madden T.L., Schäffer A.A., Zhang J., Zhang Z., Miller W., and Lipman D.J. 1997. Gapped BLAST and PSI-BLAST: a new generation of protein database search programs. Nucleic Acids Research, 25(17): 3389-3402.
- 4- Asadi Rahmani H., and Rafiei S. 2013. Survey the ability of *flavobacterium* sp. bacteria in solubilization of insoluble phosphate. Journal of Cellular and Molecular Researches (Iranian Journal of Biology), 26(4): 472-479. (in Persian with English abstract)
- 5- Asghar H.N., Zahir Z.A., and Arshad M. 2004. Screening rhizobacteria for improving the growth, yield, and oil content of canola (*Brassica napus* L.). Australian Journal of Agricultural Research 55:187-194.
- 6- Banerjee M., Yesmin R.L., and Vessey J.L. 2006. Plant-growth- promoting rhizobacteria as biofertilizers and biopesticides. P. 137-181. In: Handbook of microbial biofertilizers. Ed., Rai, M., K., Food Production Press. U.S.A.
- 7- Benizri E., Baudoin E., and Guckert A. 2001. Root colonization by inoculated plant growth-promoting rhizobacteria. Biocontrol Science and Technology, 11(5):557-574.
- 8- Bent E., Tzvun S., Chanway C.P., and Enebak S. 2001. Alterations in plant growth and root hormone levels of lode pole pines inoculated with rhizobacteria. Canadian Journal of Microbiology, 47:793-800.
- 9- Bradford K.J. 1996. Population-based models describing seed dormancy behaviour: Implications for experimental design and interpretation. In Plant Dormancy, Lang, G.A. (ed). Oxford, UK: CAB International. P. 313-339.
- 10- Cakmakci R.I., Donmez M.F., and Erdogan U. 2007. The effect of Plant Growth Promoting Rhizobacteria on barely seedling growth, nutrient uptake, some soil properties, and bacterial counts. Turkish Journal of Agriculture and Forestry, 31:189-199.
- 11- Cassán F., Vanderleyden J., and Spaepen S. 2014. Physiological and agronomical aspects of phytohormone production by model plant-growth-promoting rhizobacteria (PGPR) belonging to the genus *Azospirillum*. Journal of Plant Growth Regulation, 33(2):440-459.
- 12- Chen Y., Jurkevitch E., Bar-Ness E., and Hadar Y. 1994. Stability constants of pseudobactin complexes with transition metals. Soil Science Society of America Journal, 58:390-396.
- 13- Creus C.M., Sueldo R.J. and Barass C.A. 1996. Azospirillum inoculation in pregerminating wheat seeds. Canadian Journal of Microbiology, 42:83-86.
- 14- Doyle J.J., and Doyle J.L. 1987. A rapid DNA isolation procedure for small quantities of fresh leaf tissue. Phytochemical Bulletin, 19:11-15.
- 15- El-Meleigi M.A. 1998. Effect of Pseudomonas isolates applied to corn, sorghum and wheat seeds on seedling

1- Dormancy

- growth and corn yield. Canadian Journal of Plant Sciences, 69: 101-108.
- 16- Forouzi M., Ehteshami S.M.R., Esfahani M., and Rabiee M. 2015. Effect of seed size on emergence rate, germination indices, seedling growth and yield of four bread wheat cultivars (*Triticum aestivum* L.). Cereal Research, 5(1):67-82. (in Persian with English abstract)
- 17- Gholami A., Shahsavani S., and Nezarat S. 2009. The Effect of plant growth-promoting rhizobacteria (PGPR) on germination, seedling growth and yield of maize. Proceedings of Word Academy of Science, Engineering and Technology, 37: 2070-3740.
- 18- Glick B.R., Jacobson C.B., Schwarze M.M.K., and Pasternak J.J. 1994. 1-aminocyclopropane-1-carboxylic acid deaminase mutants of the plant growth-promoting rhizobacterium *Pseudomonas putida* GR12-2 do not stimulate canola root elongation. Canadian Journal of Microbiology, 40:911-915.
- 19- International Seed Testing Association (ISTA). 2008. Handbook of vigor test methods (2nd ed.). International Seed Testing Association, Zurich, Switzerland.
- 20- Jarak M., Mrkovački N., Bjelić D., Jošić D., Hajnal-Jafari T., and Stamenov D. 2012. Effects of plant growth promoting rhizobacteria on maize in greenhouse and field trial. African Journal of Microbiology Research 6(27):5683-5690.
- 21- Jiang H., Dong H., Zhang G., Yu B., Chapman L.R., and Fields M.W. 2006. Microbial diversity in water and sediment of Lake Chaka, an athalassohaline lake in northwestern China. Applied and Environmental Microbiology, 72(6):3832-3845.
- 22- Khakipour N., Khavazi K., Mojallali H., Pazira E., and Asadi Rahmani H. 2008. Production of auxin hormone by fluorescent pseudomonads. American-Eurasian Journal of Agricultural and Environmental Science, 4:687-692.
- 23- Khalid A., Arshad M., and Zahir Z.A. 2004. Screening plant growth promoting rhizobacteria for improving growth and yield wheat. Journal of Applied Microbiology, 96:473-480.
- 24- Kloepper J.W., and Schroth M.N. 1978. Plant growth-promoting rhizobacteria on radish. Proceeding of 4th International Conference of Plant Pathological Bacteriology, 879-882. Angeres.
- 25- Kloepper J.W., Lifshitz R., and Zablotowicz R.M. 1989. Free-living bacterial inocula for enhancing crop productivity. Trends in Biotechnology, 7(2):39-44.
- 26- Maghami M., Olamaee M., Rasuli Sadaghiani M.H., and Dordipour E. 2013. Isolation and identification of *Pseudomonas fluorescens* and evaluation of their plant growth promoting properties in soils Golestan province. Journal of Soil Management and Sustainable Production, 3(2):251-264. (in Persian with English abstract)
- 27- Noori M.S.Sh., and Saud H.M. 2012. Potential plant growth-promoting activity of *Pseudomonas* sp. isolated from paddy soil in Malaysia as biocontrol agent. Plant Pathology and Microbiology, 3:1-4.
- Patten C., and Glick B.R. 1996. Bacterial biosynthesis of indole-3-acetic acid. Canadian Journal of Microbiology, 42:207-220
- 28- Rashid M., Khalil S., Ayub N., Alam S., and Latif F. 2004. Organic Acids productions solubilization by phosphate solubilizing microorganisms (PSM) under in vitro conditions. Pakistan Journal of Biological Sciences, 7:187-196.
- 29- Seyed Sharifi R., and Khavazi K. 2012. Effect of seed inoculation with plant growth promoting rhizobacteria (PGPR) on germination components and seedling growth of corn (*Zea mays* L.). Journal of Agroecology, 3(4):506-513. (in Persian with English abstract)
- 30- Shaukat K., Affrasayab S., and Hasnain S. 2006. Growth responses of (*Helianthus annus*) to plant growth-promoting rhizobacteria used as a biofertilizer. Journal of Agriculture Research, 1(6):573-581.
- 31- Soltani Tolارood A., Salehrastin N., Khavazi K., Asadi H., and Abaszadeh P. 2008. Isolation and study plant growth promoting properties of *Pseudomonas fluorescens* species in soils of Iran. Iranian Journal of Soil and Water Science, 21:187-199. (In Persian)
- 32- Srivastava N.H., Bhandari V., and Bhatt A.B. 2014. PGPR Isolated from rhizospheric soil of *Zanthoxylum armatum* DC. in Garhwal Himalaya. International Journal of Herbal Medicine, 2(1):100-108.
- 33- Thomashow L.S., and Waller D.M. 1994. Role of a phenazine antibiotic from *Pseudomonas fluorescens* in biological control of *Gaeumannomyces graminis* var. *tritici*. Journal of Bacteriology, 176:3499-3508.
- 34- Wu S.C., Cao Z.H., Li Z.G., and Cheung K.C. 2005. Effect of biofertilizer containing N-fixer, P and K solubilizers and AM fungi on maize growth: a greenhouse trial. Geoderma, 125:155-166.



Identification and Evaluation of PGP Traits in Some Bacterial Strains Isolated from Wheat Rhizosphere

V. Hemati¹- H. Asadi Rahmani^{2*} - Sh. Rezaei³

Received: 30-07-2017

Accepted: 18-12-2017

Introduction: Wheat is one of the most important food crops. In modern agriculture, due to the increase in human population and the detrimental effects of pesticides such as environmental pollution, concerns about human and animal health, adapting suitable alternatives which have none of these dangerous effects would be necessary. This is possible by increasing the production of bio-fertilizers. Plant growth-promoting rhizobacteria (PGPR) are the beneficial rhizosphere bacteria that can enhance plant growth directly or indirectly through a wide variety of mechanisms. PGPR can stimulate plant growth directly by supplying nutrients such as phosphorous and nitrogen or by the production of phytohormones such as auxins, cytokinins (CK), gibberellins (GAs) or ACC deaminase synthesis. They can also promote plant development indirectly by the suppression of pathogens by different mechanisms such as biosynthesis of antimicrobial molecules or antibiosis induced systemic resistance (ISR), rhizosphere competition, cell wall degrading enzymes like chitinase and HCN production. In this study, amplified ribosomal DNA restriction analysis was performed for screening the bacterial isolates. Then phosphate solubilization, siderophore and auxin release activities and effect of bacterial isolates on wheat seed germination traits were studied.

Materials and Methods: In order to isolate wheat rhizosphere bacteria, soil samples were taken from the wheat rhizosphere of Tehran, Qazvin, Zanjan, West and East Azerbaijan, Kurdistan and Hamadan provinces. Genomic DNA of each isolate was extracted by using a modified cetyl trimethylammonium bromide (CTAB) method. Amplified ribosomal DNA restriction analysis with HpaII and RsaI restriction enzymes was done for genetic screening. Growth stimulating factors were evaluated by auxin production, siderophore production, and inorganic phosphate solubilizing activity. Siderophore production was determined by measuring the diameters of the colony (mm) and of any orange halo (mm) formed from the blue medium surrounding bacterial growth on CAS Blue Agar medium. To examine P_i solubilization capability, 2μ bacteria suspension was placed on the plates containing Sperber's medium. Cultures were incubated at $25 \pm 2^\circ$, when the diameters of the colony and of the halo zone surrounding it were measured and the mean \pm SE of the ratios of halo (mm)/colony (mm) calculated. In order to evaluate the production of auxin, isolates were grown in 100ml flasks containing 25ml TSB medium for 48h on a rotary shaker. 1 ml supernatant was mixed with 2ml of Salkowsky reagent after centrifugation at 10000g for 15min. The absorbance of the complex was read at 535nm in a Spectrophotometer. To investigate the effect of bacterial isolates on germination traits, radicle and plumule fresh and dry weight, radicle and plumule length, germination percentage, germination rate, and germination average rate were measured. The data were analyzed with using SAS 9.1. Mean comparisons were performed by LSD and main effective interaction was found significant at $P < 0.05$.

Results and Discussion: 20 isolates of wheat rhizosphere bacteria were subjected to amplified ribosomal DNA restriction analysis. The 16S rDNA region was amplified by polymerase chain reaction and PCR products were digested by HpaII and RsaI restriction enzymes. From each pattern, one sample was sent to sequencing. Different species including; *Chryseobacterium ginsenosidimutans*, *C. lathyri*, *C. piperi*, *C. taiwanense*, *Novosphingobium aromaticivorans*, *Pedobacter duraquae*, and *Sphingomonas koreensis* were identified from the wheat rhizosphere. Bacteria were tested for their plant growth promoting qualities. All of the strains produced auxin from 1.90 to 25.93. Mean comparison of the data showed that the highest level of auxin was produced with F1 and the lowest amount was observed by F18. Phosphate solubilization measured as a halo zone on Sperber's medium was observed with F6 and F56 isolates. The ratio of the diameter of the halo zone to the colony diameter was 2.86 with F6. The highest level of siderophore production by wheat rhizosphere bacteria, observed as halo formation around colonies on CAS Blue Agar medium, was obtained with F46, followed by F45 and F3. The ratio of the diameter of the orange halo surrounding bacterial growth to the colony diameter was 2.86 with F46. The result showed that the effect of wheat

1 and 3- M.Sc. Student and Assistant Professor of Islamic Azad University, Karaj Branch, Iran

2- Associate Professor of Soil and Water Research Institute, Agricultural Research, Education and Extension Organization

(*- Corresponding Author Email: asadi_1999@yahoo.com)

rhizosphere bacteria on germination traits such as radicle fresh and dry weight, plumule fresh weight, radicle and plumule length, germination percentage, germination rate, and germination average rate was significant at the one percent level and the effect of wheat rhizosphere bacteria on plumule fresh weight was significant at the five percent level.

Conclusion: Plant growth promoting bacteria enhance the growth and development of plants with different ways. These bacteria affect the growth and development of crops by phosphate solubilization, production of hydrogen cyanide, siderophore, and hormones such as auxin, gibberellic acid and cytokinins. According to the result, due to growth promoting characteristics such as siderophore and auxin production, phosphate solubilization, and the improvement of the seed germination traits, it can be possible to prepare bacterial inoculant for the field experiment in order to increase the availability of nutrients and improve the growth of plants.

Keywords: Auxin, PGPR, Siderophore, Wheat